# 溶接を用いないアルミニウム BRB の低サイクル疲労実験

○名城大学大学院 学生会員 舟山 淳起

名城大学 王 春林

名城大学 フェロー 宇佐美 勉

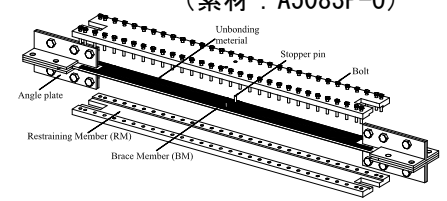
### 1. 緒言

近年、土木分野においても制震ダンパーに関する研究が多く行われるようになってき た 1) 2). 著者らも過去に、軽量、耐食性が良好であることなどの特徴を持つアルミニ ウム合金(A5083P-O)を素材に用いた座屈拘束ブレース(以下 BRB と称す)の性 能実験,数値解析的検討を行った3.文献(3)の実験結果より,素材の特性として ひずみ硬化の影響が非常に大きい,端部リブの取り付けに溶接を使用したことによっ て応力集中が発生し写真-1 のように溶接止端部から亀裂が生じ破断するなどの課題

が挙げられた、そこで、本研究では、これらの得られた知見から、ひずみ硬 化の影響が少ない A6061S-T6 を素材に適用し、溶接を一切使用せずにボル ト接合のみで BRB を製作して低サイクル疲労実験を行い、低サイクル疲労 寿命曲線を求めた. さらに、累積疲労損傷度式 D を用いた新しい照査法を 提案した.



写真-1 破断写真 (素材:A5083P-0)



### 2. 実験概要

図-1 には、本研究で使用したアルミニウム合金 BRB の 構成イメージを示す. ブレース材, 拘束材にはアルミニ ウム合金の板材を使用し、合金種は A6061S-T6 を用いた. A6061S-T6 は耐食性に優れ、代表的な構造用材としても 使用されている.ブレース材は図-2に示す平型材を,拘 東材は図-3に示す断面形状を採用している.ブレース材 の端部リブとして, 既製品である 100X100X10 のアング ルを図-4の寸法に加工し利用した.組み立て方法は、ブ レース材の端部にアングル材を 4 つ組み合わせたものを ボルト接合し, ブレース材平行部にはアンボンド材を巻 き付け、拘束材で挟み込むように装着し高力ボルトで接 合した. 実験装置, 方法は文献(1), (2), (3) と同様で ある. 載荷パターンは、一定、変動ひずみ振幅の2種類 があり、供試体の変位をブレース材の平行部で除した平 均ひずみ  $\varepsilon$ を用いて制御した. 表-1 に示す供試体名の最 後の数字が振幅量と対応している. なお, R1 はひずみ振 幅が 1%, 2%, 2.5%と増加するもので, R2 は反対に減 少するものとなっている.

## 3. 実験結果

図-5には平均応力—平均ひずみ関係を1例のみであるが A606-2.0 について示す. 全ての供試体において全体座屈 は生じることなく、文献(3)(素材:A5083P-O)で顕

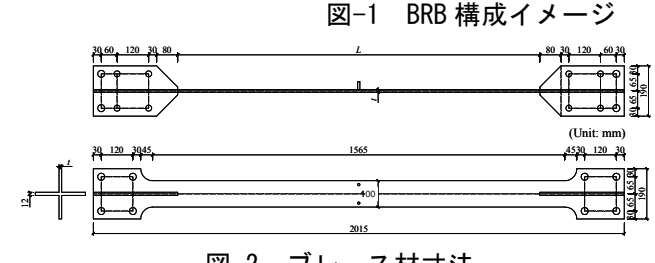
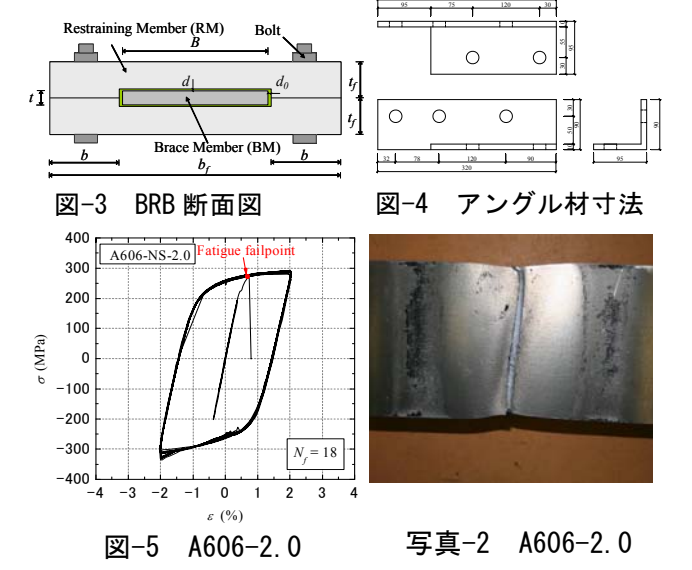


図-2 ブレース材寸法



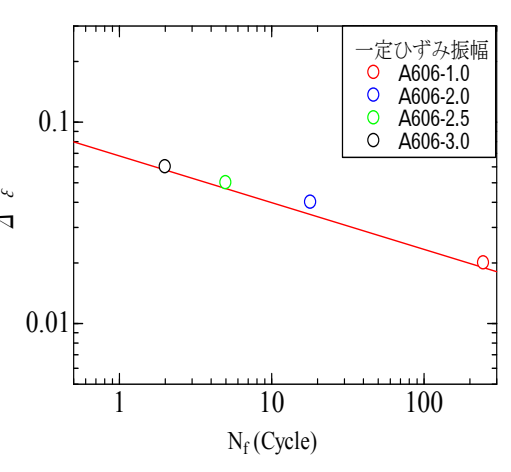
A606-1.0 A606-2.0&2.5&3.0 A606-R1 図-6 破断箇所

キーワード: アルミニウム合金, ボルト接合, 低サイクル疲労照査

連絡先:〒468-8502 名古屋市天白区塩釜口 名城大学理工学研究科建設システム専攻

著にみられたひずみ硬化の影響もみられなかった。**写真-2** は A606-2.0 の実験終了後の破断部分の写真であり,図 -6 は全供試体の破断箇所を示している。文献(3)では全ての供試体で端部リブの溶接止端部から破断しているが,本実験では全ての供試体でブレース材の中央部に破断箇所が移行していることがわかる。**表-1** には全供試体の実験結果をまとめたものを示す。A606-R2 に関しては,十分な性能を確保していることが確認できたため 100 サイクルに達したところで載荷を終了した。

実験結果 表-1 供試体 Δε/2 (%) Δε (%) CIDD載荷方法  $N_f$  $n_i$ 246 A606-1.0 1.0 2.0 4.76 1.26 A606-2.0 1.02 1.79 2.0 4.0 18 一定ひずみ 5.0 0.369 1.29 振幅 A606-2.5 2.5 5 2 A606-3.0 3.0 6.0 0.171 1.11 2.0 1.0 A606-R1 2.0 4.0 10 0.823 1.65 2.5 5.0 2 変動ひずみ 2.5 5.0 2 振幅 A606-R2 2.0 4.0 10 2.65 2.03 1.0 2.0 100



Note:  $\Delta \varepsilon / 2 =$  ひずみ振幅, $\Delta \varepsilon =$  ひずみ範囲, $N_f, n_i =$  繰り返し回数,

CID =累積塑性ひずみ

図-7 疲労寿命曲線

#### 4. 低サイクル疲労寿命曲線

多くの材料について低サイクル疲労における寿命  $N_f$  は、一定塑性ひずみの範囲 $\varepsilon_p$  に支配されており、次式の Manson-Coffin 則が成り立つとされている。なお全ひずみ範囲は塑性ひずみ範囲とほぼ等しく、実用性を考え全ひずみ範囲として考える。

$$\Delta \varepsilon = C \cdot (N_f)^{-k} \tag{1}$$

ここで  $N_f$ : 破断繰り返し数,C, k: 材料定数, $\Delta \varepsilon$ : 全ひずみ範囲である.本実験で得られた結果も式(1)に適用できるとし,材料定数 C, k を非線形最小二乗法によって求めると,C=0.070,k=0.214 が得られる. $\mathbf{Z}$ -7 は縦軸にひずみ範囲  $\Delta \varepsilon$ と,横軸に破断までの繰り返し数  $N_f$ を両対数グラフにプロットし,求めた式(1)を表したものである.

### 5. 累積疲労損傷度式

Manson-Coffin 則を使用した低サイクル疲労強度予測手法の1つとして Miner 則があげられ,次式で表される.

$$D = C^{-1/k} \cdot \sum n_i \cdot (\Delta \varepsilon_i)^{1/k} \tag{2}$$

式(2)に、材料定数 C、k を代入した式を用い、本実験供試体の損傷度 D を算出した結果を表-1 に示す。全ての供試体で D>1.0 となり、本実験の提案式は安全側になっていることがわかる。一方、CID で照査を行った場合、ひずみ振幅 2.5%以上の供試体では、文献(1)で提案されている要求性能(CID>0.7)を満たしていないことになる。そこで、今回提案している累積疲労損傷度式 D を用いて照査を行うことによっても、低サイクル疲労を防止することができるため、この照査方法は妥当であると考える。

### 6. 結言

素材にアルミニウム合金を用い、溶接を一切使用せずにボルト接合のみで BRB を製作し、低サイクル疲労実験を行った。そして、従来の照査法に代わる、累積損傷度式Dを用いる照査法を提案した。

### 参考文献

- (1) 宇佐美ら:高機能座屈拘束ブレースの開発研究,構造工学論文集,土木学会 Vol.55A, pp.719-729, 2009.3
- (2) 舟山ら:溶接部の仕上げによる鋼製 BRB の低サイクル疲労性能向上効果,構造工学論文集,土木学会 Vol.57A, pp.565-578,2011.3 (3) 佐藤ら:構造用アルミニウム合金 BRB の性能実験と解析,土木学会論文集 A, Vol66, pp.356-367,2010